

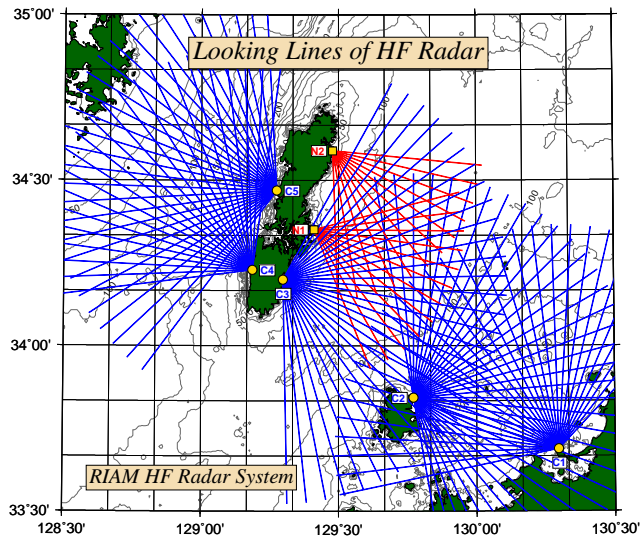
# 対馬海峡における内部地衡流（対馬暖流）変動の推定

吉川 裕

RIAM, Kyushu University

December 21, 2007

# 觀測領域



## Crossed Loop Antenna (CODAR)

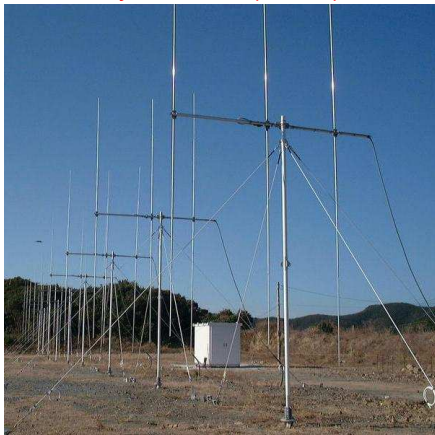


### CODAR (C1 ~ C5)

Center Frequency	13.9MHz
Range Coverage	75km
Range Resolution	3.0km
Bearing Coverage	360 deg
Bearing Resolution	5.0 deg
Sampling Time	4 min 16 s
Rad. Vel. Interval	1 hour
Measurement Depth	~ 172cm

C5; OUMI Site (Tsushima Island)

## DBF Array Antenna (NJRC)



NJRC (N1,N2)

Center Frequency	24.5MHz
Range Coverage	50km
Range Resolution	1.5km
Bearing Coverage	90 deg
Bearing Resolution	7.5 deg
Sampling Time	30 min.
Rad. Vel. Interval	1 hour
Measurement Depth	~ 98cm

N1; Akashima Site (Tsushima Island)

## HF レーダー : C1 ~ C5, N1, N2

- 2002 年 2 月 ~ 2007 年 3 月
- 一時間平均視線流速  $\diamond$  月平均視線流速  
 $\diamond$  月平均流速ベクトル
- 計測分散誤差 :  $\leq 1.7 \text{ cm s}^{-1}$  (Yoshikawa et al. 2006)
- 空間格子幅 :  $0.05 \times 0.05 \text{ deg}$

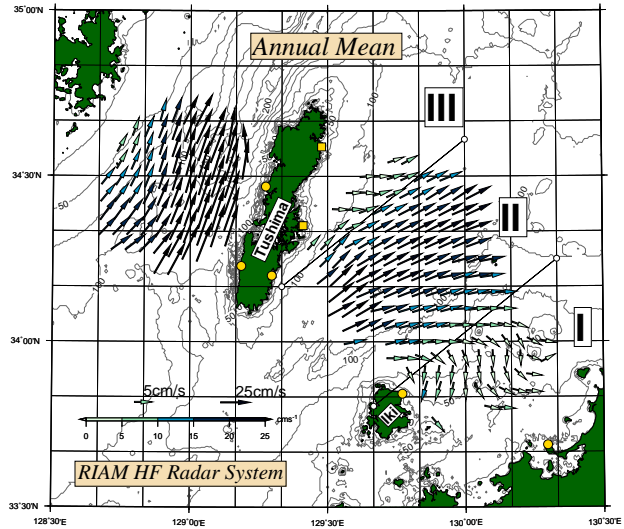
## 海上風 : GPV-MSM 解析データ (JMA)

- 2002 年 7 月 ~ 2007 年 3 月
- 毎時データ (3 or 6 時間おき)  $\diamond$  月平均
- 空間格子幅 :  $0.05 \times 0.0625 \text{ deg}$

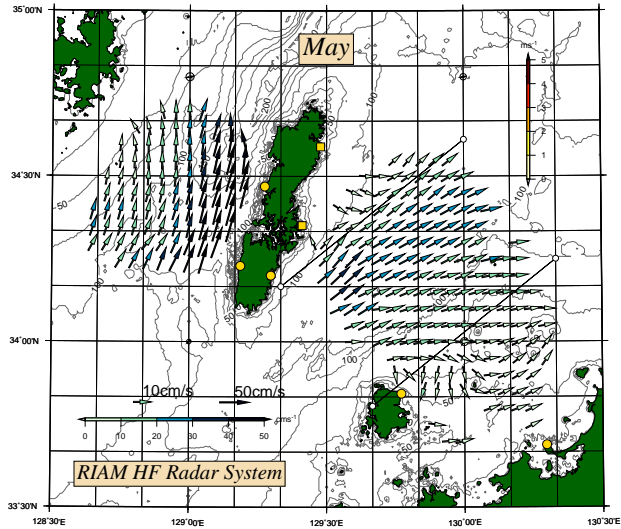
## 水位 : 博多、巖原 (JODC)

- 2002 年 2 月 ~ 2007 年 3 月
- 每時データ  $\diamond$  每月データ

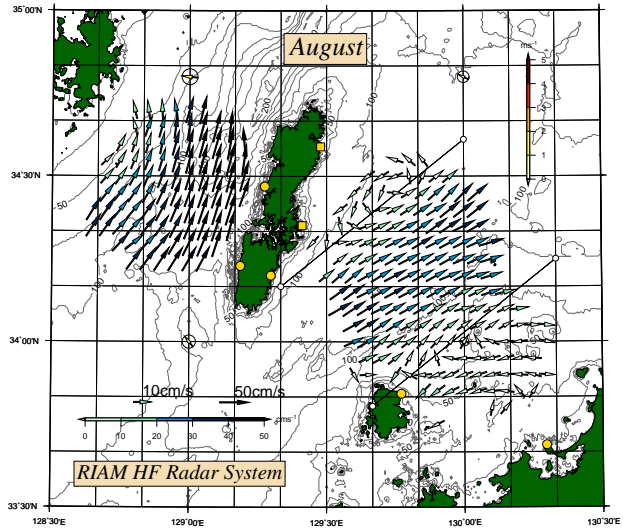
# 年平均流速場（実測値）



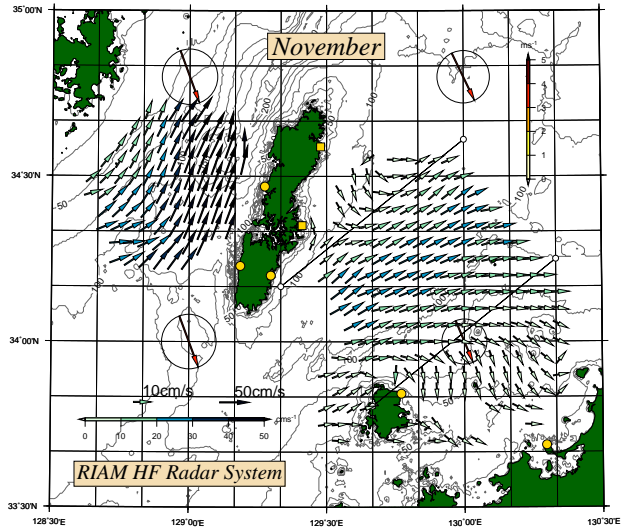
# 月平均表層流速場（実測値）



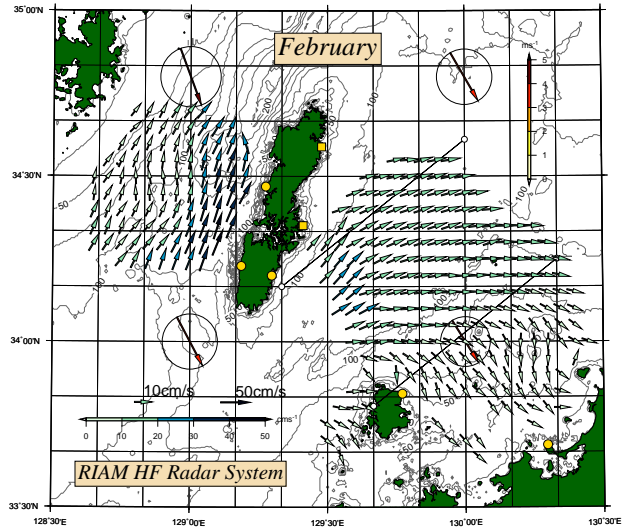
# 月平均表層流速場（実測値）

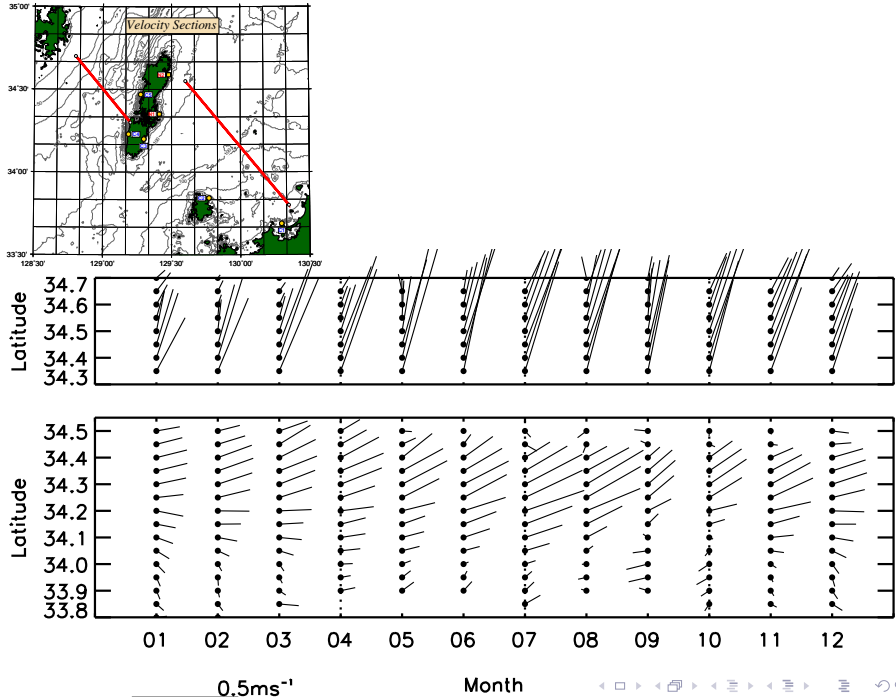


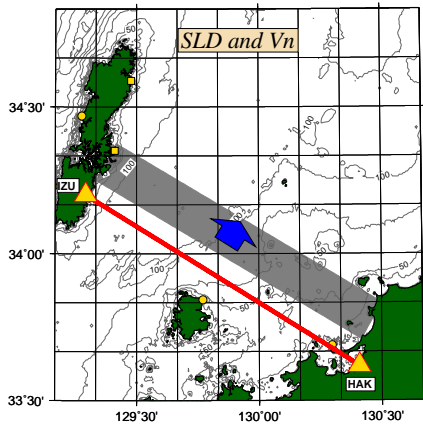
# 月平均表層流速場（実測値）



# 月平均表層流速場（実測値）



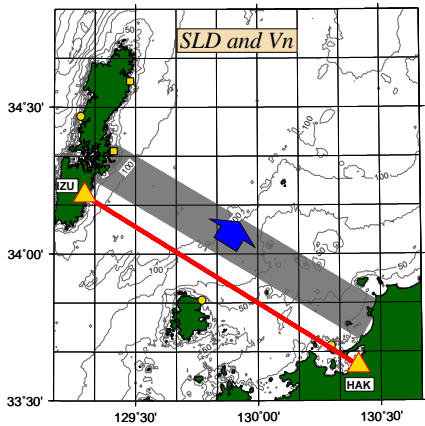




$$V = \frac{g}{fL} SLD = 1.00 SLD$$

$$g = 9.80 \text{ m s}^{-2}, L = 120 \text{ km},$$

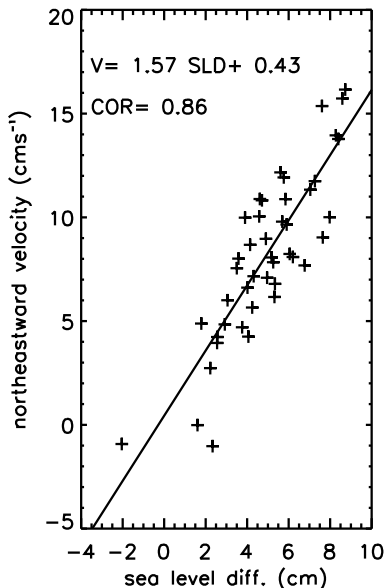
$$f = 8.13 \times 10^{-5} \text{ s}^{-1}$$



$$V = \frac{g}{fL} SLD = 1.00 SLD$$

$g = 9.80 \text{ m s}^{-2}$ ,  $L = 120 \text{ km}$ ,

$f = 8.13 \times 10^{-5} \text{ s}^{-1}$



# 月平均表層流動場から見えるもの

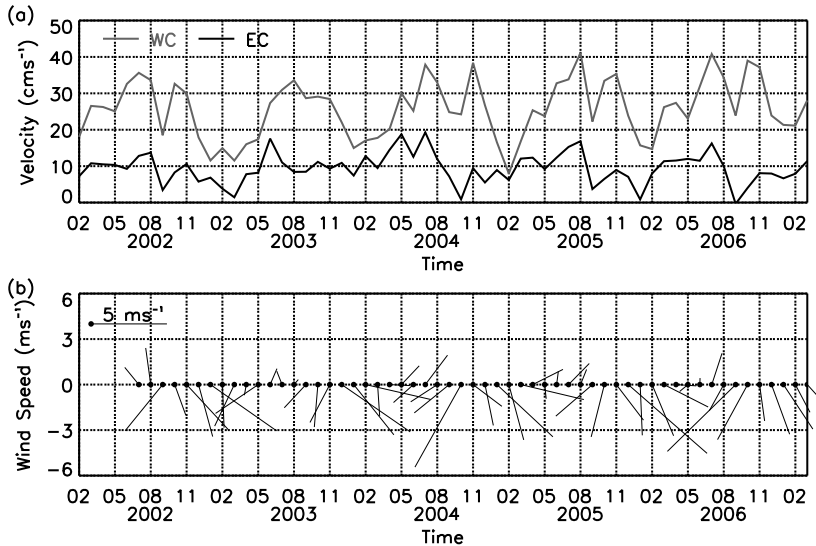
- 季節変動 … 結構複雑

WC	流速 : 速い ( $\geq 0.40 \text{ m s}^{-1}$ ) 流向 : NNE、一定
EC III	流速 : 遅い ( $\leq 0.10 \text{ m s}^{-1}$ ) 流向 : NE, SW, and SE
II	流速 : 速い ( $0.25 \text{ m s}^{-1}$ ) 流向 : NE and E
I	流速 : 遅い ( $\leq 0.10 \text{ m s}^{-1}$ ). 流向 : NE, SW, and SE

- 非地衡流成分の卓越

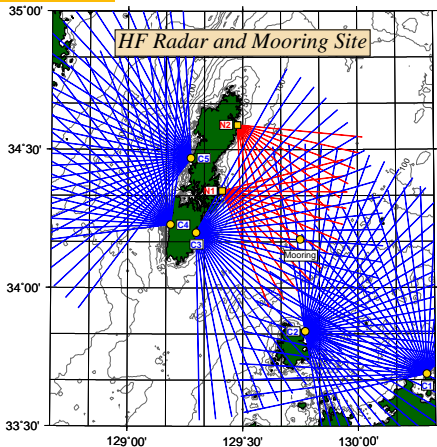
$$\begin{aligned}\text{表層流} &= \text{内部地衡流} + \text{吹送流} \\ &\quad (\text{内部流}) \quad (\text{境界層流})\end{aligned}$$

# 風と北東流

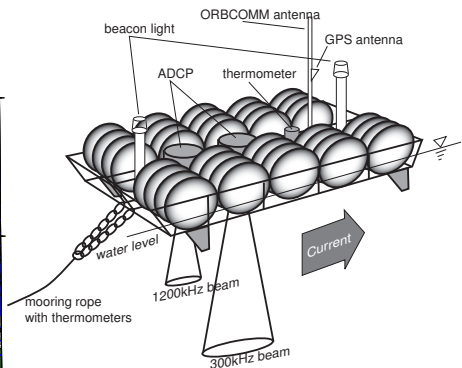


# 吹送流の観測

係留位置

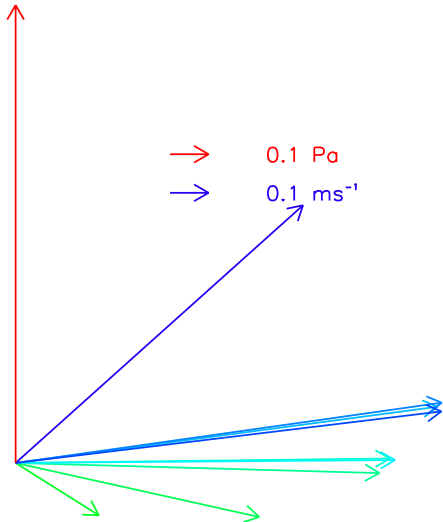


筏外観図



Yoshikawa et al. (JGR, 2007)

# 吹送流構造



## 第一主成分構造

$$|\nu|=0.90 |\tau|$$
$$\arg(\nu, \tau)=48 \text{ deg}$$

$\nu$  : wind-driven flow  
at HF radar depth  
 $\tau$  : wind stress

## 仮定

- 月平均吹送流は月平均風応力と線型に対応する

$$(u + iv) = \alpha(\tau_x + i\tau_y) \exp(-i\beta)$$

- 風応力と吹送流の関係式は時空間変化しない

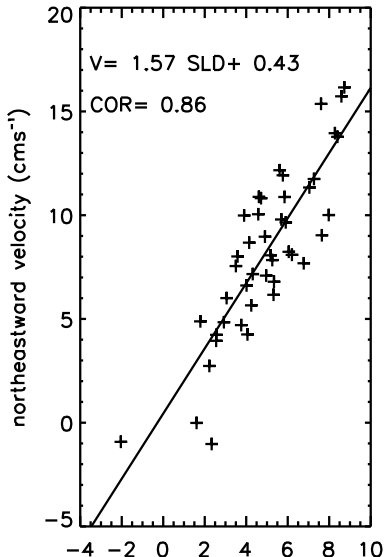
$$\alpha = \text{const.}, \beta = \text{const.}$$

## 手順

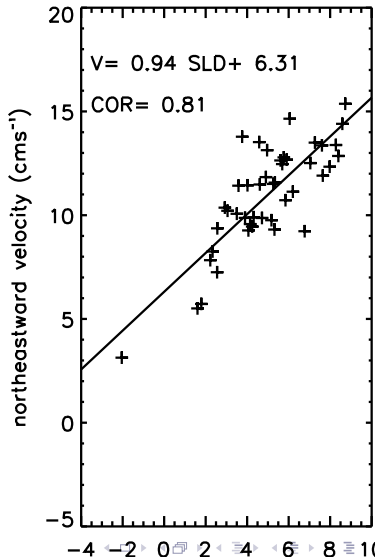
- ① 筏観測から得られた  $(\alpha, \beta)$  を用いて風応力から吹送流を算出
- ② 実測値から推定値を差し引く

# 地衡流平衡の検証

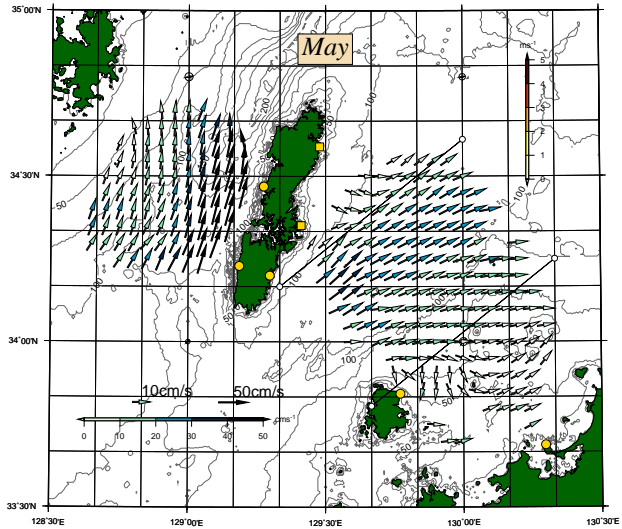
実測表層流 vs 水位差



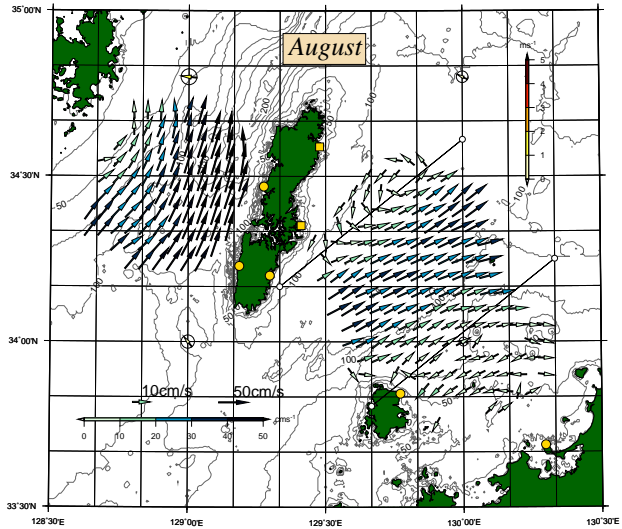
推定内部流 vs 水位差



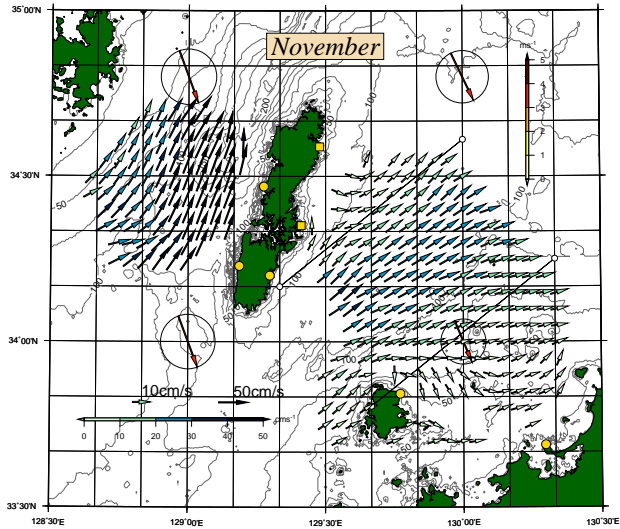
# 月平均内部流速場（推定値）



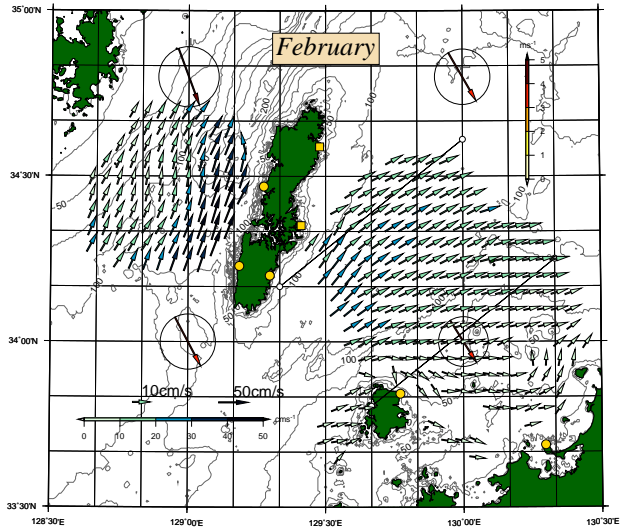
# 月平均内部流速場（推定値）



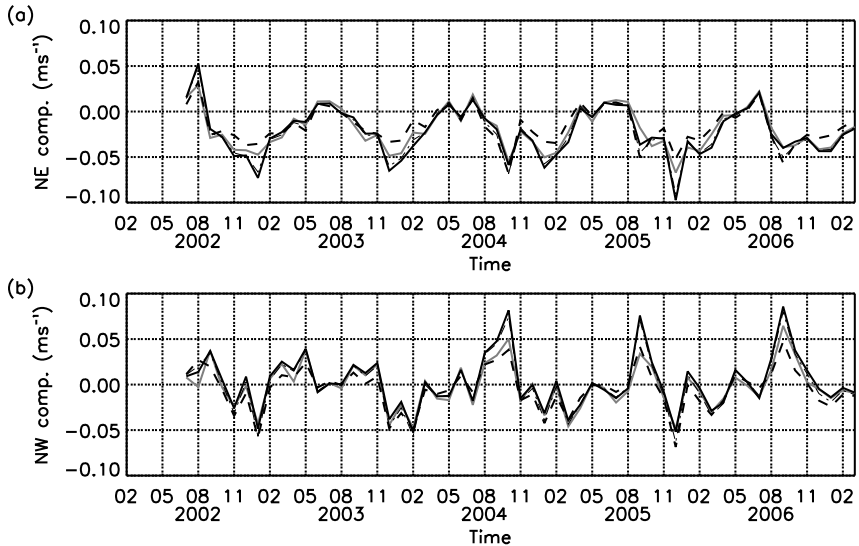
# 月平均内部流速場（推定値）



# 月平均内部流速場（推定値）

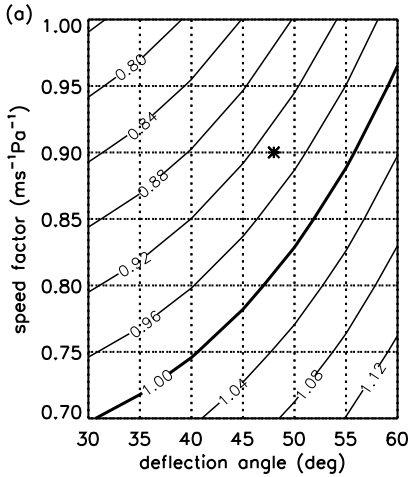


# 吹送流の大きさ

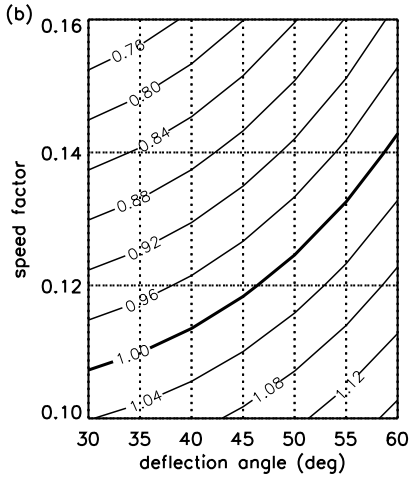


# パラメター依存性

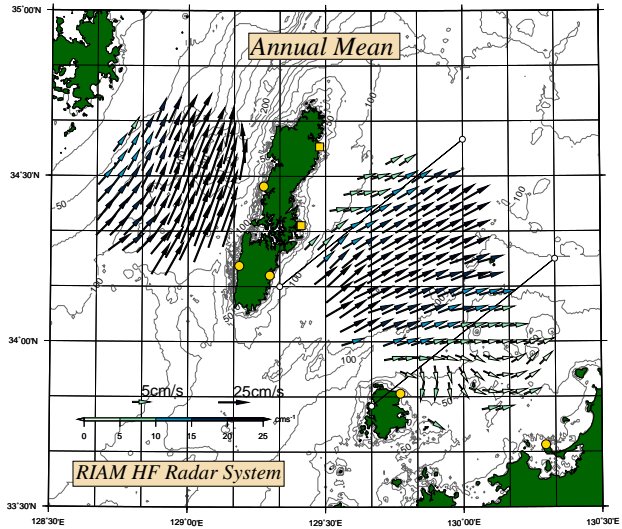
風応力基準



風基準

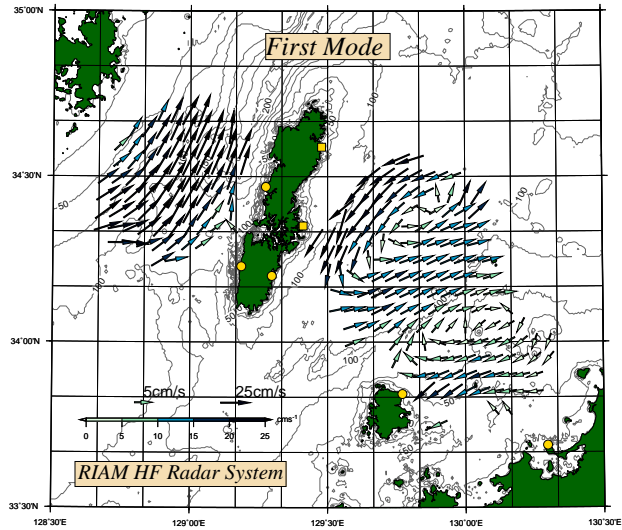


# 年平均内部流速場（推定値）



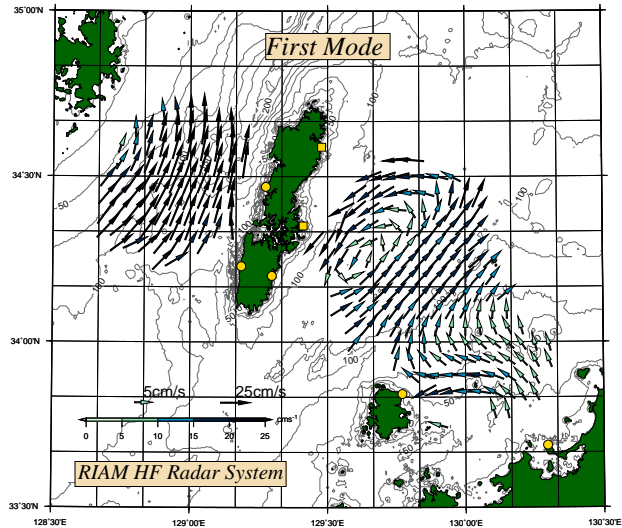
# 内部地衡流の EOF 第一モード

WC : 69.2%, EC : 67.8%



# 表層流の EOF 第一モード

WC : 75.7%, EC : 53.2%



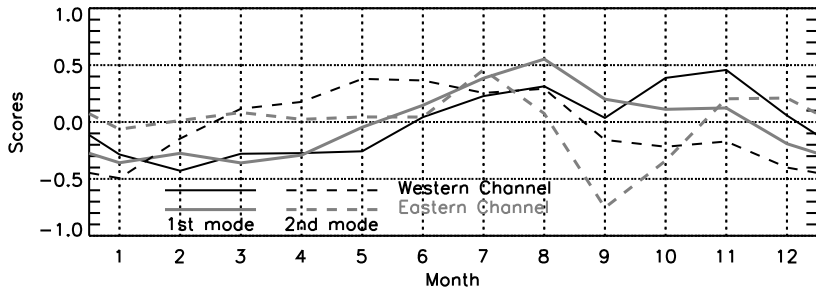
## 分かったこと

- 月平均内部地衡流を推定した
  - $(\alpha, \beta) = (0.90, 55), (0.70, 30), \dots$
  - $(\alpha, \beta) = (0.12, 45), \dots$
- ご利益：  
福岡沿岸、対馬東岸の南西向き反流：  
対馬暖流が対馬・壱岐の島影につくる後流渦

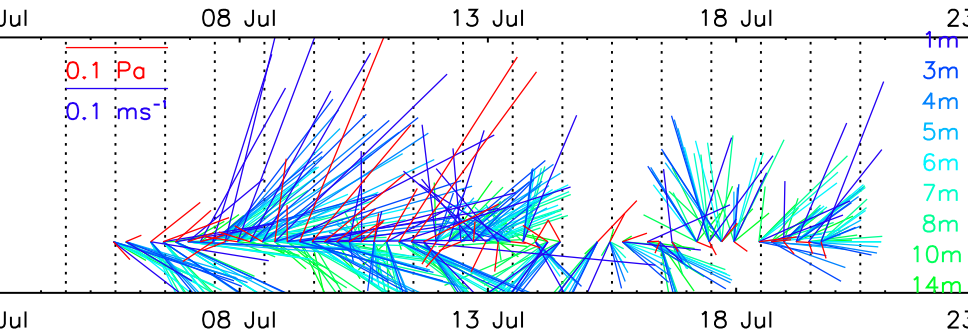
## 今後の課題

- 吹送流推定係数の時空間変化は？
- より短時間平均値での推定は可能か？

# EOF First Mode Score of Interior Current



# Wind Stress and Relative Velocities



reference depth = 20 m

vertical shear of reference flow = average shear between 20 - 40 m